

МИНИСТЕРСТВО ОБРАЗОВАНИЯ И НАУКИ  
РОССИЙСКОЙ ФЕДЕРАЦИИ

Федеральное государственное бюджетное образовательное  
учреждение высшего профессионального образования  
Алтайский государственный университет

Физико-технический факультет

Кафедра радиофизики и теоретической физики

**«Физическая реализация квантовых  
логических элементов »**

(Отчет по производственной практике)

Выполнил

студент группы 511м

\_\_\_\_\_Донцов А. А.

Руководитель практики

к.ф.-м.н.

\_\_\_\_\_Волков Н. В.

Отчет представлен на кафедру

РТФ

«\_\_\_\_\_» \_\_\_\_\_ 2011 г.

Оценка \_\_\_\_\_

Заведующий кафедрой РТФ

д.ф.-м.н., проф.

\_\_\_\_\_Лагутин А. А.

# Оглавление

0.1. Квантовая точка, квантовый гармонический осциллятор .	4
0.2. Спин кубита . . . . .	9
<b>Литература</b>	<b>12</b>

## Введение

**Актуальность.** В настоящее время сделана большая работа в области построения квантовых вычислительных машин, разработана большая теоретическая база. Хотя до сих пор полноценный квантовый компьютер не был построен, но уже сейчас реализованные некоторые опыты и небольшие прототипы компьютера. При построении квантовых вычислительных машин встают так же технологические трудности, например такие как потеря когерентности. Отсутствие хороших средств для моделирования и разработки квантовых алгоритмов затрудняет работу по построению новых алгоритмов, что подтверждается наличием малого числа действительно квантовых алгоритмов [1], [2]. Для реализации квантовых алгоритмов нужно выполнить следующие условия:

- адекватно представлять квантовую информацию;
- выполнять универсальный набор квантовых унитарных преобразований;
- приготавливать начальное состояние;
- измерять конечный результат.

Для реализации этих требований хорошо подходят квантовые точки – системы атомов, имеющие размер  $\sim 1$  нм (то есть  $10^{-9}$  м). Электрон в квантовой точке локализован, поэтому энергетический спектр квантовой точки является дискретным, как у атома, так что квантовые точки можно считать искусственными атомами. Дискретность электронных состояний в квантовой точке и наличие у электрона собственного вращательного момента (спина) могут быть использованы при конструировании логических элементов (вентилей) [?].

**Цель.** Построение и описание математической модели квантовых вычислений, основанных на применении квантовых точек, основанных по-

лупроводниковых гетероструктурах.

Разработка математического представления квантовых вычислений и квантовой памяти.

### 0.1. Квантовая точка, квантовый гармонический осциллятор

Квантовая точка - это фрагмент проводника или полупроводника, содержащий в себе электрон или электроны, ограниченные со всех сторон каким-либо потенциальным барьером, в качестве барьера довольно часто применяют примеси каких-либо других веществ. Потенциал, создаваемый в квантовой точке, ограничивает движение носителей заряда во всех трёх пространственных измерениях. Характерные размеры квантовой точки от 10 нм до 100 нм.

Квантовую точку можно рассматривать как потенциальную яму содержащую в себе частицу, поведение такой частицы описывается уравнением гармонического осциллятора, при рассмотрении двумерного случая, гамильтониан такой системы имеет вид:

$$H = \frac{p^2}{2m} + V(x), \quad (1)$$

где  $V(x) = 0$  при  $0 < x < L$  и  $V(x) = \infty$  в противном случае. Собственные состояния в координатном представлении имеют вид

$$|\psi_n\rangle = \sqrt{\frac{2}{L}} \sin\left(\frac{\pi x n}{L}\right) \quad (2)$$

и

$$E_n = \frac{n^2 \pi^2}{2mL^2} \quad (3)$$

Таким образом гамильтониан принимает дискретные значения [3]. Рассмотрим двумерную потенциальную яму с бесконечными стенками и пусть в ней у частицы только два энергетических уровня. Тогда волновую функцию можно записать как  $|\psi\rangle = a|\psi_1\rangle + b|\psi_2\rangle$ . Поскольку

$$|\psi\rangle = e^{(E_1 - E_2)/2t} [a e^{-i\omega t} |\psi_1\rangle + b e^{i\omega t} |\psi_2\rangle], \quad (4)$$

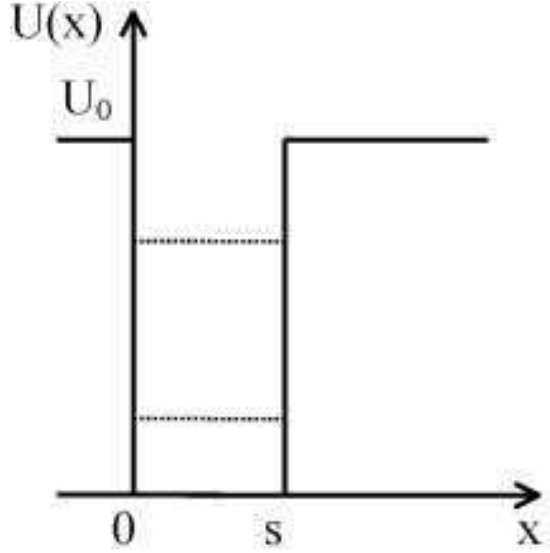


Рис. 1. Одномерная прямоугольная потенциальная яма,  $U(x)$  - потенциальная энергия

где  $\omega = (E_1 - E_2)/2$ , можно рассматривать только амплитуды  $a$  и  $b$ , так что соостояние представляется абстрактным двухкомпонентным вектором

$$|\psi\rangle = \begin{bmatrix} \psi_n \\ \psi_m \end{bmatrix}. \quad (5)$$

Таким образом, эта двухуровневая система представляет кубит. Его эволюция во времени описывается эффективным гамильтонианом  $H = h\omega Z$  [4], [5].

Предположим, что данная система подвергается внешнему воздействию электромагнитного поля, изменяющегося во времени по закону  $\epsilon(t) = \epsilon_0 e^{-t/|\tau|}$ , и направленному вдоль оси  $Oz$ .

Если внешнее возмущение удовлетворяет условию применимости теории возмущений, вероятность перехода может быть вычислена в рамках нестационарной теории возмущений. Амплитуда процесса в первом порядке теории возмущений имеет вид:

$$A_{mn} = \frac{1}{i\hbar} \int_t^\tau \langle f_n | \hat{V}(\mathbf{r}, t) | f_m \rangle e^{i\omega_{f_m n} t} dt, \quad (6)$$

где  $\omega_{mn} = (E_n - E_m)/\hbar$  - частота перехода. С амплитудой простым спо-

собо́м связана вероятность перехода:

$$W_{mn} = |A_{mn}|^2 = \frac{1}{i\hbar} \left| \int_t^\tau \langle f_n | \hat{V}(\mathbf{r}, t) | f_m \rangle e^{i\omega_{f_m n} t} dt \right|^2. \quad (7)$$

Вводя на́чале введём повышающий и понижающий операторы  $a^+$  и  $a$ , соответственно определённые

$$a^+ = \frac{1}{\sqrt{2m\hbar\omega}}(m\omega x + ip), \quad (8)$$

$$a = \frac{1}{\sqrt{2m\hbar\omega}}(m\omega x - ip), \quad (9)$$

$a^+|\psi\rangle$  является собственным состоянием гамильтониана  $H$  с энергией  $E + \hbar\omega$ ,  $a|\psi\rangle$  собственное состояние с энергией  $E - \hbar\omega$  [3].

Физически понижающий и повышающий операторы можно реализовать следующим образом: если на потенциальную яму с электроном действует магнитное поле, то в зависимости от направления магнитного поля и проекции спина электрона, электрон может переходить с уровня на уровень.

Кубиты можно представить энергетическими собственными состояниями  $|n\rangle$

$$|00\rangle_L \longleftrightarrow |0\rangle \quad (10)$$

$$|01\rangle_L \longleftrightarrow |1\rangle \quad (11)$$

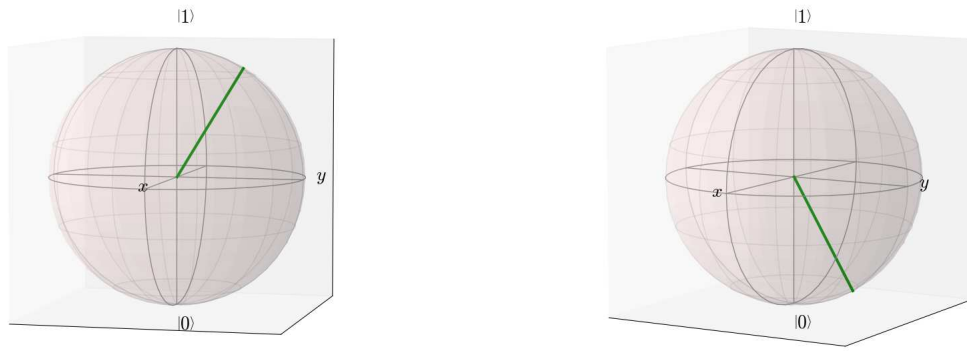
$$|10\rangle_L \longleftrightarrow \frac{|0\rangle + |1\rangle}{\sqrt{2}} \quad (12)$$

$$|10\rangle_L \longleftrightarrow \frac{|0\rangle - |1\rangle}{\sqrt{2}} \quad (13)$$

Здесь индекс  $L$  означает логические состояния, а не состояния осциллятора. Пусть система эволюционирует в течении времени  $t = \pi/\hbar\omega$ , при этом собственные состояния преобразуются по закону

$$|n\rangle \rightarrow \exp(-i\pi a^+ a)|n\rangle = (-1)^n |n\rangle \quad (14)$$

Состояние  $|0\rangle$  остаётся неизменным,  $|1\rangle$  меняет свой знак. Состояние (12) и (13) изображены на сфере Блоха следующим образом:



а)

б)

Рис. 2. Состояния (12) и (13) изображенные на сфере Блоха.

Решения для уравнения гармонического осциллятора, представлены на рисунке:

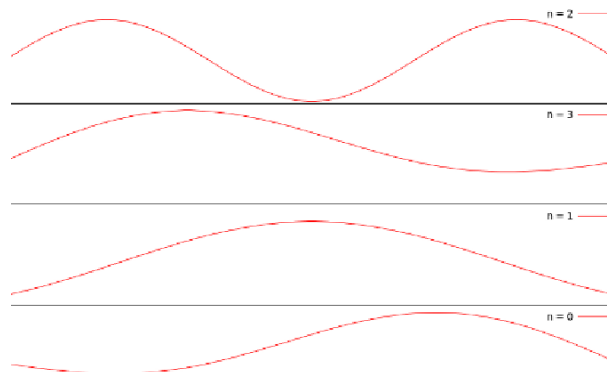


Рис. 3. Собственные функции

В общем случае необходимым и достаточным условием того, что с помощью данной физической системы можно реализовать унитарный оператор  $U$ , является приближенное равенство собственных значений оператора  $U$  и оператора эволюции  $T = \exp(-iHt)$  [6].

## Реализация однокубитных вычислений

Для реализации вычислений запишем матрицу плотности, представленной системы:

$$\rho = |\psi\rangle\langle\psi^*| = \begin{pmatrix} \psi_n \\ \psi_m \end{pmatrix} (\psi_n^* \ \psi_m^*) = \begin{pmatrix} \psi_n\psi_n^* & \psi_n\psi_m^* \\ \psi_m\psi_n^* & \psi_m\psi_m^* \end{pmatrix} \quad (15)$$

Матрицу плотности можно рассматривать как оператор (оператор плотности). Если умножить её слева на произвольный вектор-столбец, то вектор-строка  $\langle\psi|$  умножится на него, дав скалярное произведение, а последующий за ним вектор-столбец  $|\psi\rangle$  умножится на это скалярное произведение как на численный коэффициент. Итого, произвольный вектор-столбец будет рассмотрен в проекции на ось, и потом заменён на вектор вдоль этой оси, длиной в проекцию. То есть, оператор - это ровно проектор на направление, заданное исходным вектором состояния  $|\psi\rangle$ .

Кубит может быть преобразован при помощи квантовых логических гейтов, которые осуществляются при помощи унитарного преобразования  $U$ , которое преобразует исходное состояние  $\psi_i$  в состояние  $\psi_f$  соответственно с формулой

$$|\psi\rangle = U|\psi\rangle. \quad (16)$$

Квантовый элемент NOT можно представить в матричном виде. Определим матрицу  $X$  для представления квантового элемента NOT:

$$X \equiv \begin{bmatrix} 0 & 1 \\ 1 & 0 \end{bmatrix}. \quad (17)$$

Квантовые элементы на одном кубите могут быть записаны матрицами размера  $2 \times 2$ . Матрица  $U$ , описывающая квантовый элемент должна быть унитарна, т.е.  $U^+U = I$ , где  $U^+$  — сопряжённая матрица, получаемая транспонированием и последующим комплексным сопряжением  $U$ , а  $I$  — единичная матрица.

Условие унитарности является единственным ограничением на квантовые элементы. Любая унитарная матрица описывает физически воз-



можный квантовый элемент.

## 0.2. Спин кубита

Частица со спином равным  $1/2$  хорошо подходит для реализации кубитов. Кубит может быть образован из спиновых состояний одного электрона, одного ядра, пары электронов или электронно-дырочной системы (экситонов). Для электрона  $z$  компонента спина равна  $\pm\hbar/2$ . Оператор  $z$  спина

$$s_z = \frac{\hbar}{2}\sigma_z, \quad (18)$$

где  $\sigma_z$  матрица Паули

$$\sigma_z = \begin{pmatrix} 1 & 0 \\ 0 & -1 \end{pmatrix} \quad (19)$$

Соответствующие уравнения имеют собственные формы

$$s_z|0\rangle = +\frac{\hbar}{2}, s_z|1\rangle = -\frac{\hbar}{2}. \quad (20)$$

Собственные значения могут так же записаны в виде спиноров,

$$|0\rangle = \begin{pmatrix} 1 \\ 0 \end{pmatrix}, |1\rangle = \begin{pmatrix} 0 \\ 1 \end{pmatrix} \quad (21)$$

Спиновый магнитный диполь задан формулой:

$$\mu_z = -\frac{1}{2}g^*\mu_B\sigma_z, \quad (22)$$

где  $\mu_B$  магнетон Бора ( $\mu_B = 0.927 \times 10^{-23} Am^2$ ),  $g^*$  является эффективным фактором Ланде, который в полупроводниковых материалах может принимать как положительные, так как отрицательные значения например, для электрона в *Si*  $g^* = 1.998$ , в *Ge*  $g^* = 1.563$ , в *GaAs*  $g^* = -0.44$ , для электрона в вакууме  $g^* = 2.0$ .

Спин может быть определён с помощью взаимодействия спинов магнитных диполей с внешнем магнитным полем  $\vec{B}$ . Для магнитного поля вида  $\vec{B} = (0, 0, \vec{B})$  гамильтониан взаимодействия будет иметь вид:

$$H_{int} = -\mu_z B = \frac{1}{2}g^*\mu_B\sigma_z B. \quad (23)$$

Если квантовая система обладает энергией  $E_\nu$  в отсутствии внешнего магнитного поля, тогда согласно (18), (20) и (23) взаимодействие спинового магнитного диполя с магнитным полем приводит к расщеплению этого уровня энергии на два подуровня энергии.

$$E_{\nu\pm} = E_\nu \pm \frac{1}{2}g^*\mu_B B, \quad (24)$$

где знак  $+$  соответствует состоянию  $|0\rangle$  со спином  $\hbar/2$ , а знак  $-$  соответствует состоянию  $|1\rangle$  со спином  $-\hbar/2$ . Уравнение (24) описывает спиновый эффект Зеемана [7].

Чтобы выполнять произвольные квантовые вычисления, нужно иметь возможность реализовывать произвольный унитарный оператор. Например, манипулируя параметрами  $P_x$  и  $P_y$ , в гамильтониане  $H = P_x X + P_y Y$ , описывающем динамику отдельного спина, можно реализовать произвольные вращения этого спина [8].

## Результаты

В ходе данной работы были проделанны следующие задания:

- Обзор электронных и печатных ресурсов по реализации квантовых вычислений на основе КТ. Сравнительная характеристика имеющихся языков.
- Изучение синтаксиса языка QCL.
- Реализация квантовых схем с использованием языка QCL.

# Литература

1. *Omer B.* Classical concepts in quantum programming // *Institute for Theoretical Physics Technical University Vienna*. — 2003. — Pp. 1–11.
2. *Vizzotto J. K.* Concurrent Quantum Programming in Haskell // *Solid State Communications*. — 2010. — no. 143. — P. 76.
3. *Нильсен М., Чанг И.* Квантовые вычисления и квантовая информация. — Пер. с англ. — М.: Мир, 2006. — 824 с.
4. *Вонсонский С. В, Кацнельсон М. И.* Квантовая физика твёрдого тела. — М.: Наука, 1983. — 337 с.
5. *Sau J. D., Lutchyn R. M., Tewari S., et al.* A generic new platform for topological quantum computation using semiconductor heterostructures // *Phys. Rev. Lett.* 104, 040502 (2010). — 2010. — no. 104.
6. *Мединский М. Б.* Квантовые измерения и декогеренция. Модели и феноменология. — Пер. с англ. — М.: ФИЗМАТЛИТ, 2001. — 232 с.
7. *Janusz Adamowski., Stanislaw Bednarek., Bartlomiej Szafran.* Quantum Computing with Quantum Dots // *SCHEDAE INFORMATICAЕ*. — 2005. — 58. — Pp. 95–111.
8. *Блум К.* Теория матрицы плотности и её приложения. — Пер. с англ. — М.: Мир, 1983. — 248 с.